Выбор архитектуры нейронной сети для восстановления солености поверхностных вод по спутниковым данным видимого диапазона

Selection of Neural Network Architecture to Retrieve Sea Surface Salinity from Ocean Colour Data

Moposob E. A. (МГИ, РАН, Севастополь) Morozov Evgeny (MHI, RAS, Sevastopol) Таруса, 25 мая 2025 Tarusa, May 25 2025

Introduction

 CO_2

```
CO<sub>2</sub> <-> Alkalinity <-> Salinity (CO<sub>2</sub> <-> Щёлочность <->Соленость)
```

SMOS (Soil Moisture and Ocean Salinity), SMAP (Soil Moisture Active Passive), AMSR2 (Advanced Microwave Scanning Radiometer 2)

+зависимость яркостной Т от солёности

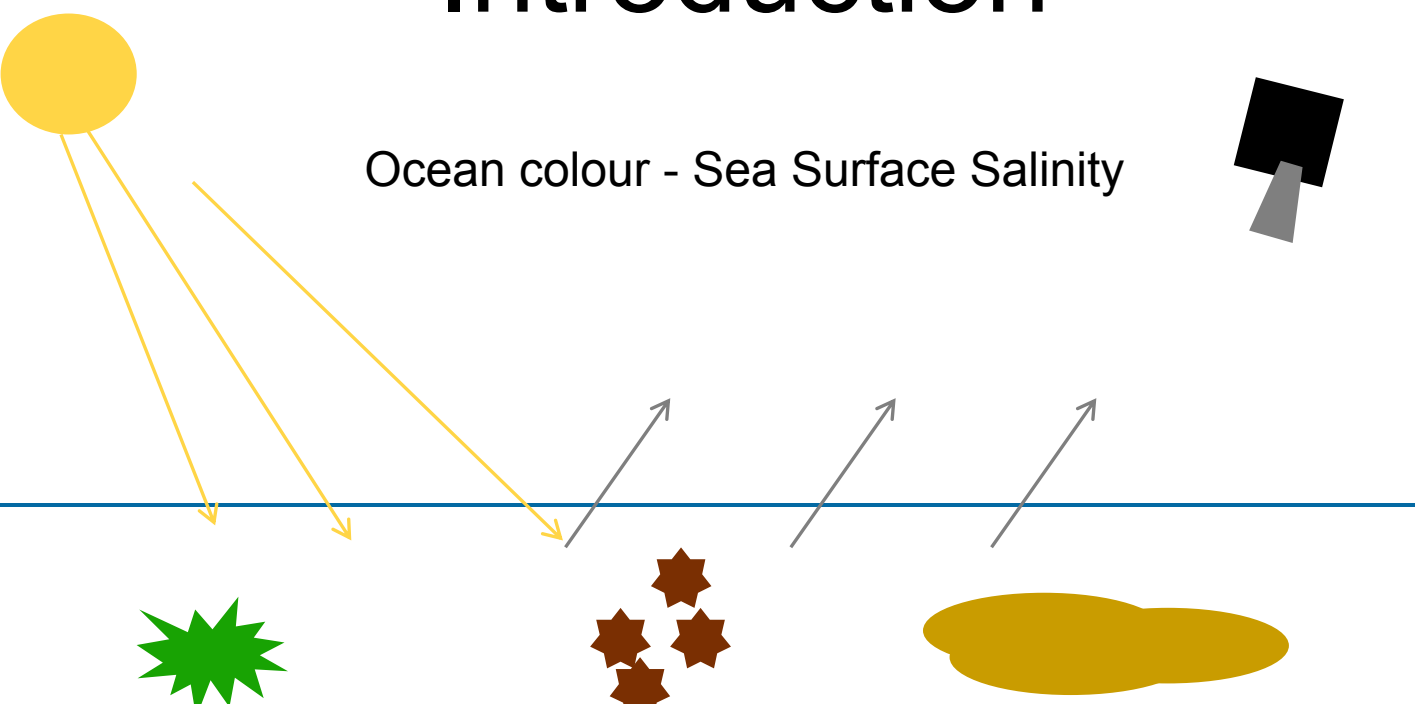
-пространственное разрешение (50-150 км)

Ocean Colour Algorithms

-нет физической связи, только статистическая

+пространственное разрешение (4 - 0,25км)

Introduction



Хлорофилл-а фитопланктона

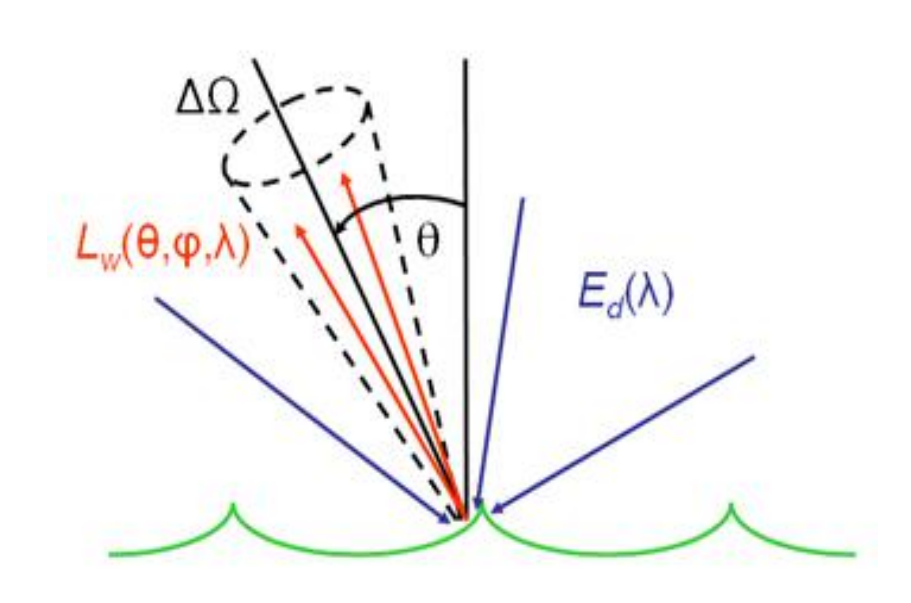
Общая взвесь или минеральная **взвесь**

Окрашенное растворенное органическое вещество

Introduction

Ocean colour - Sea Surface Salinity





$$R_{
m rs}\left(heta,\phi,\lambda
ight) \equiv rac{L_w\left(ext{in air}, heta,\phi,\lambda
ight)}{E_d\left(ext{in air},\lambda
ight)} \qquad \left(ext{sr}^{-1}
ight)$$

Satellite Data

1997-2024 version 6.0 datasets at 4km resolution, global, daily

Rrs at standard MERIS wavelengths (412, 443, 490, 510, 560, 665 nm)

SeaWiFS September 1997 - December 2010, MERIS April 2002 - April 2012, Aqua-MODIS July 2002 - Dec 2019, S-VIIRS 2012 - 2019, S3A OLCI May 2016 - ongoing, S3B OLCI June 2018 - ongoing.

Atmospheric correction was carried out using the POLYMER algorithm for MERIS & MODIS and SeaDAS v7.3 processor for SeaWiFS and VIIRS.

The Rrs values from SeaWiFS, MODIS and VIIRS were band-shifted to MERIS wavebands if necessary, and SeaWiFS and MODIS were corrected for inter-sensor bias when compared with MERIS in the 2003-2007 period.

VIIRS and OLCI were also corrected to MERIS levels, via a two-stage process comparing against the MODIS-corrected-to-MERIS-levels.





Composite Browser

Access a range of products composited in different periods. Data can be searched by time ranges, periods, products & wavelengths.



OPeNDAP

A freely available framework that simplifies all aspects of scientific data networking, making local data available to remote locations regardless of storage format.



Web GIS Portal

View, manipulate & analyse



TP

To download the large OC-CCI V6.0 dataset via FTP, use the credentials mentioned here.

About

This site provides satellite observations of ocean colour, focusing on the Ocean Colour Climate Change Initiative project (see more about this project).

Useful Links

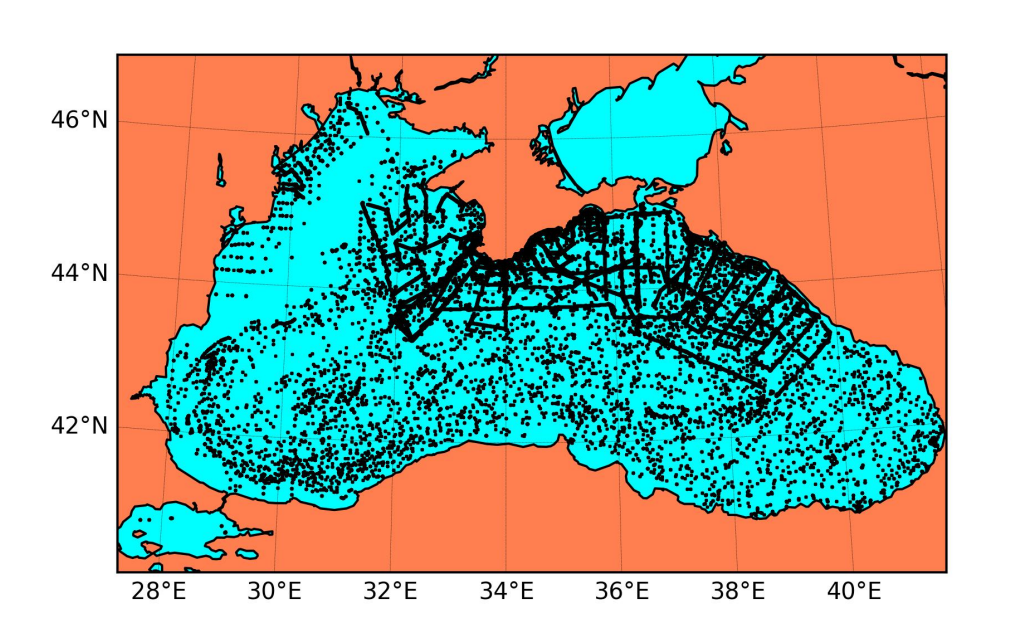
- International Ocean Colour Coordinating Group
- ESA Ocean Colour CCI
- NASA Ocean Color

Contact Us

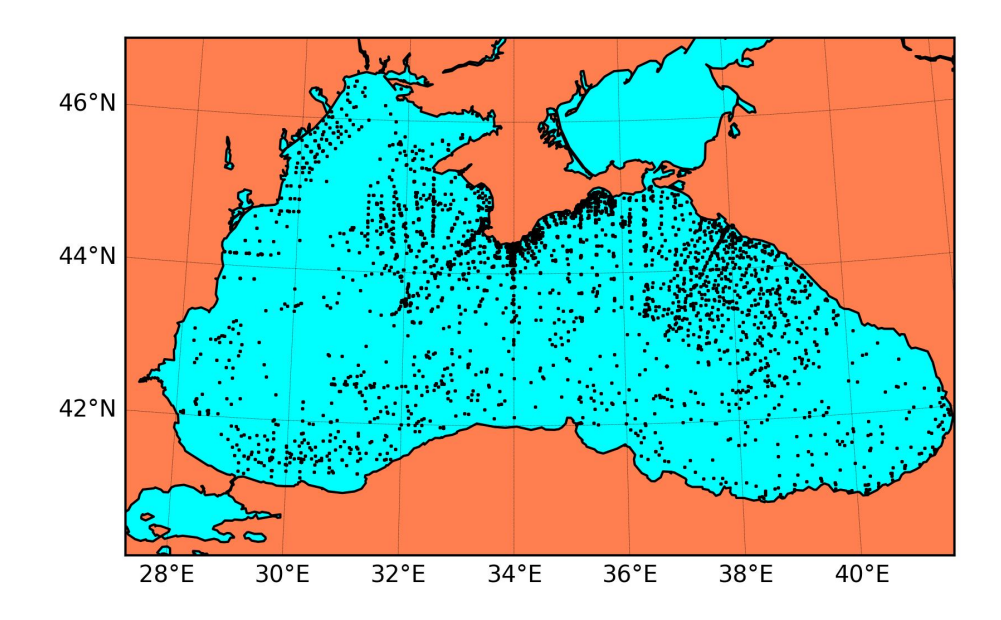
Contact us via: OC-CCI Processing Email

in situ Data

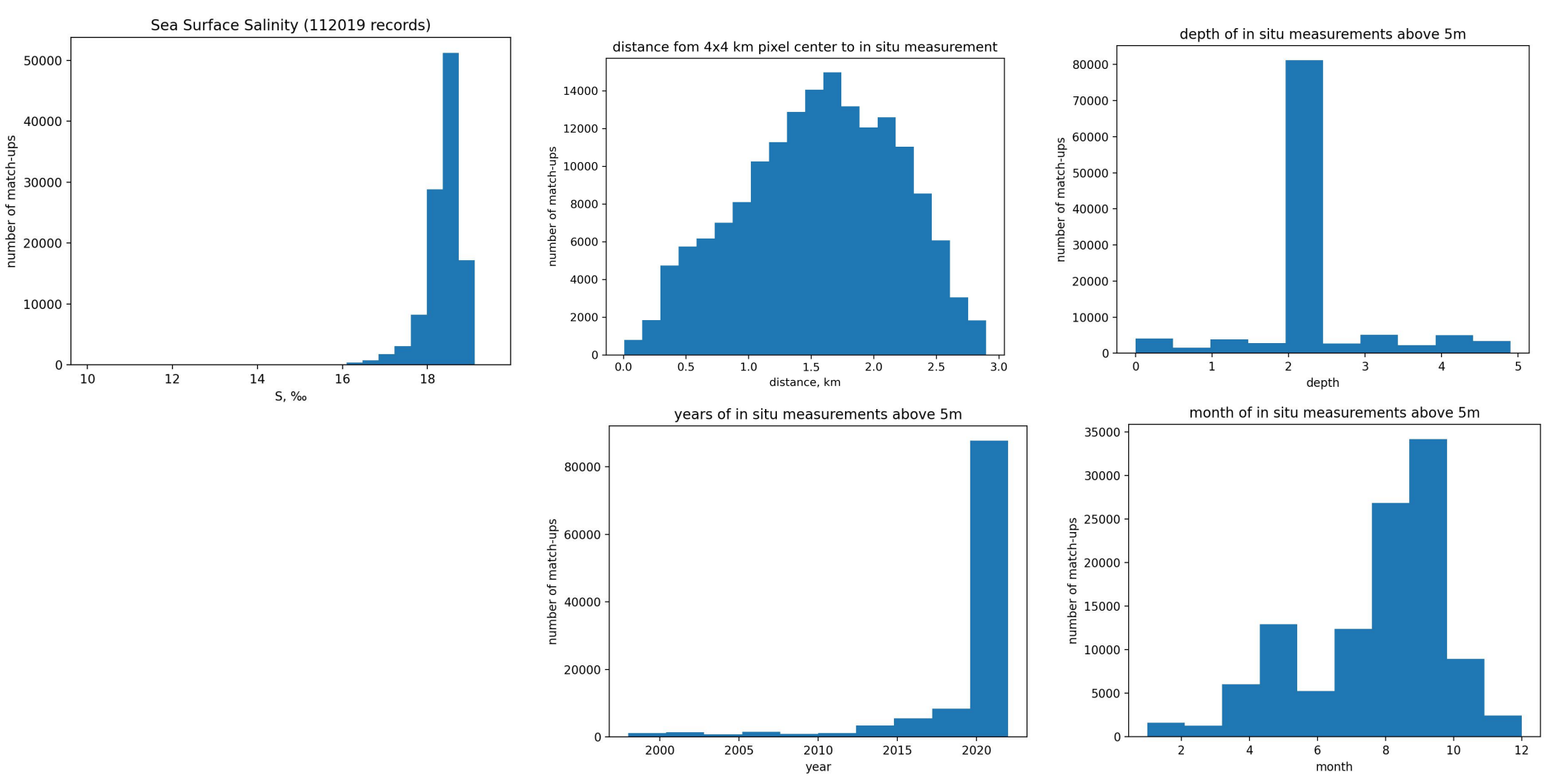
Bce in situ

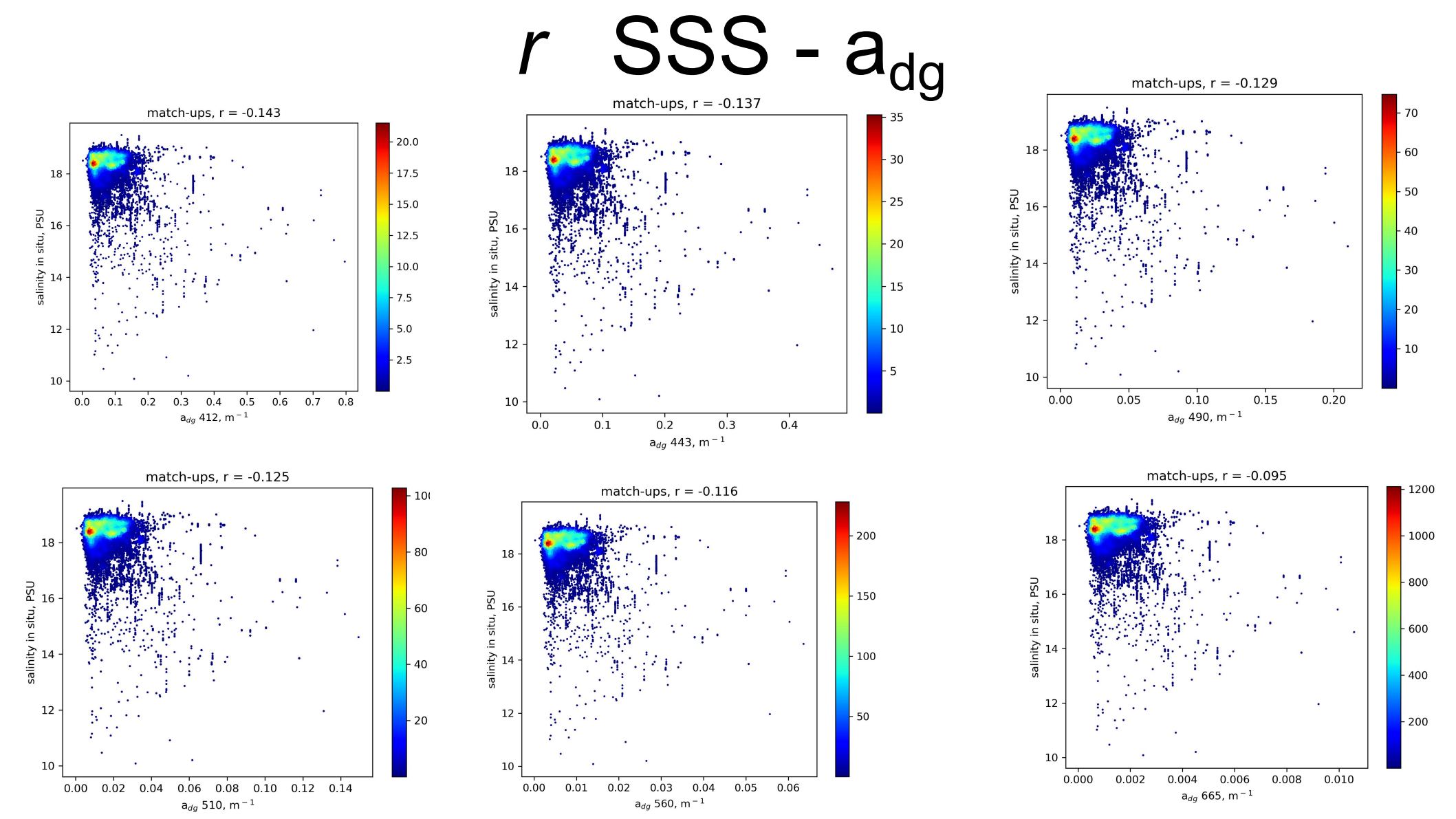


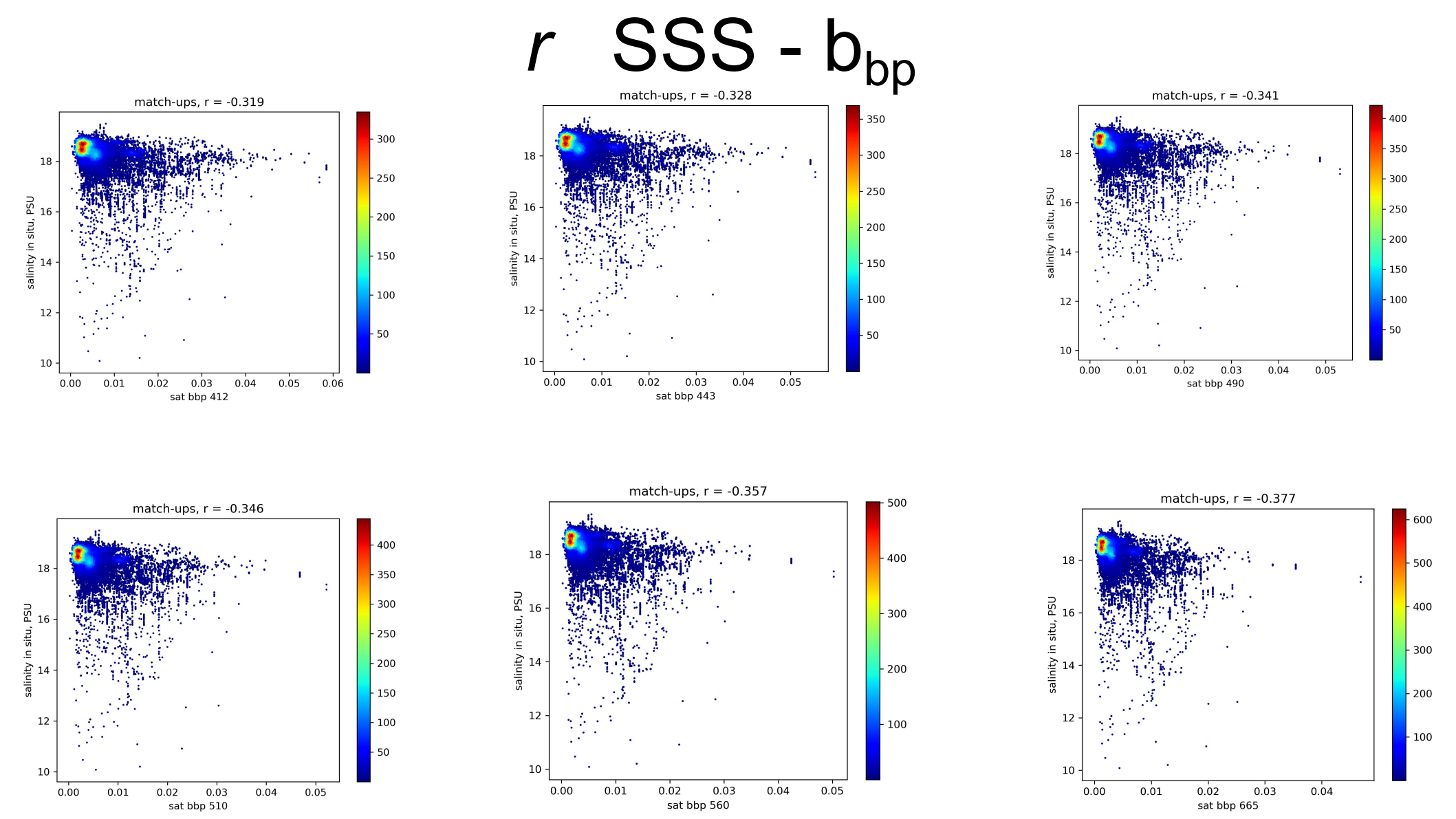
Тренировка (match-ups) 112 000

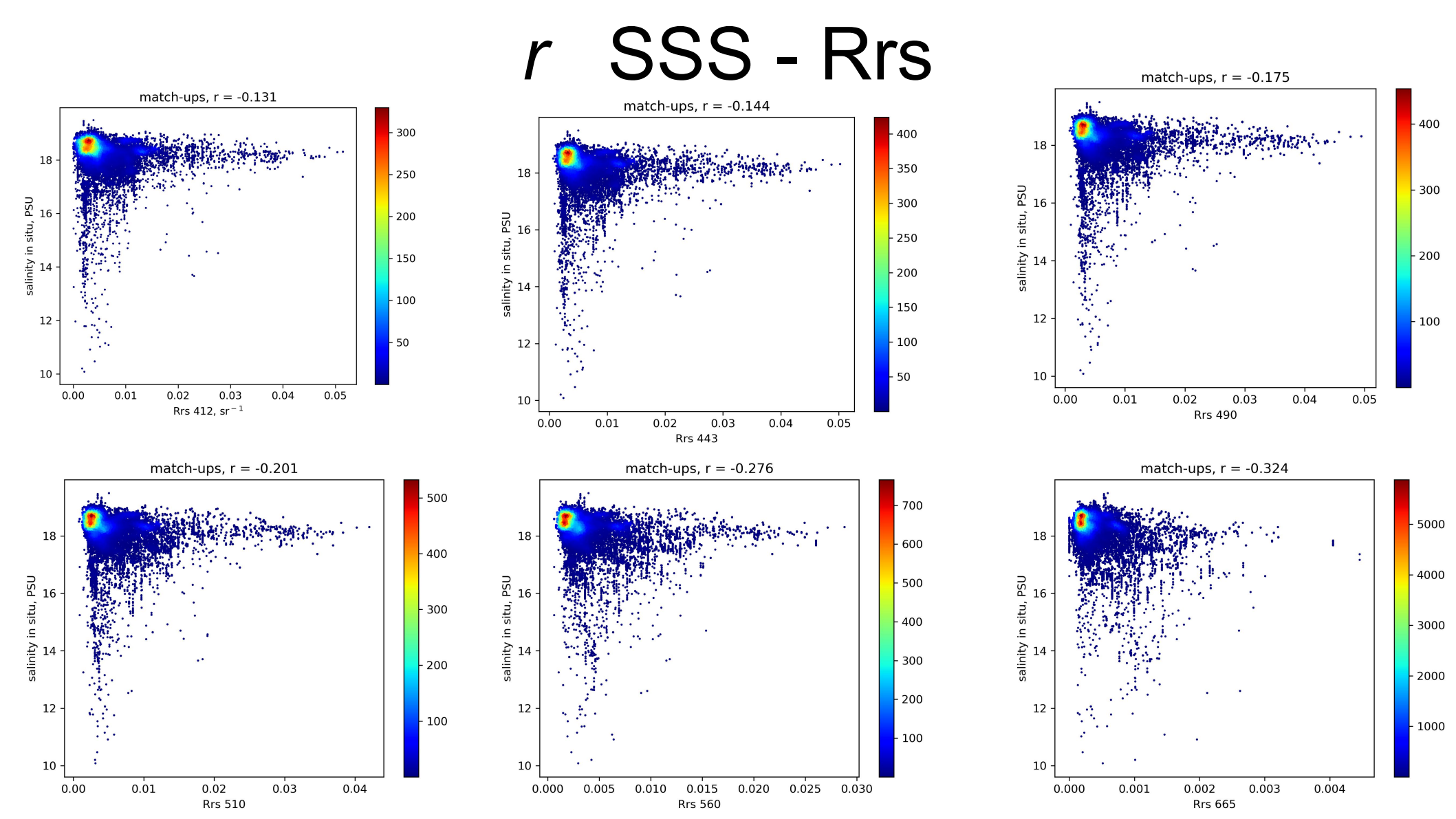


Статистика match-ups

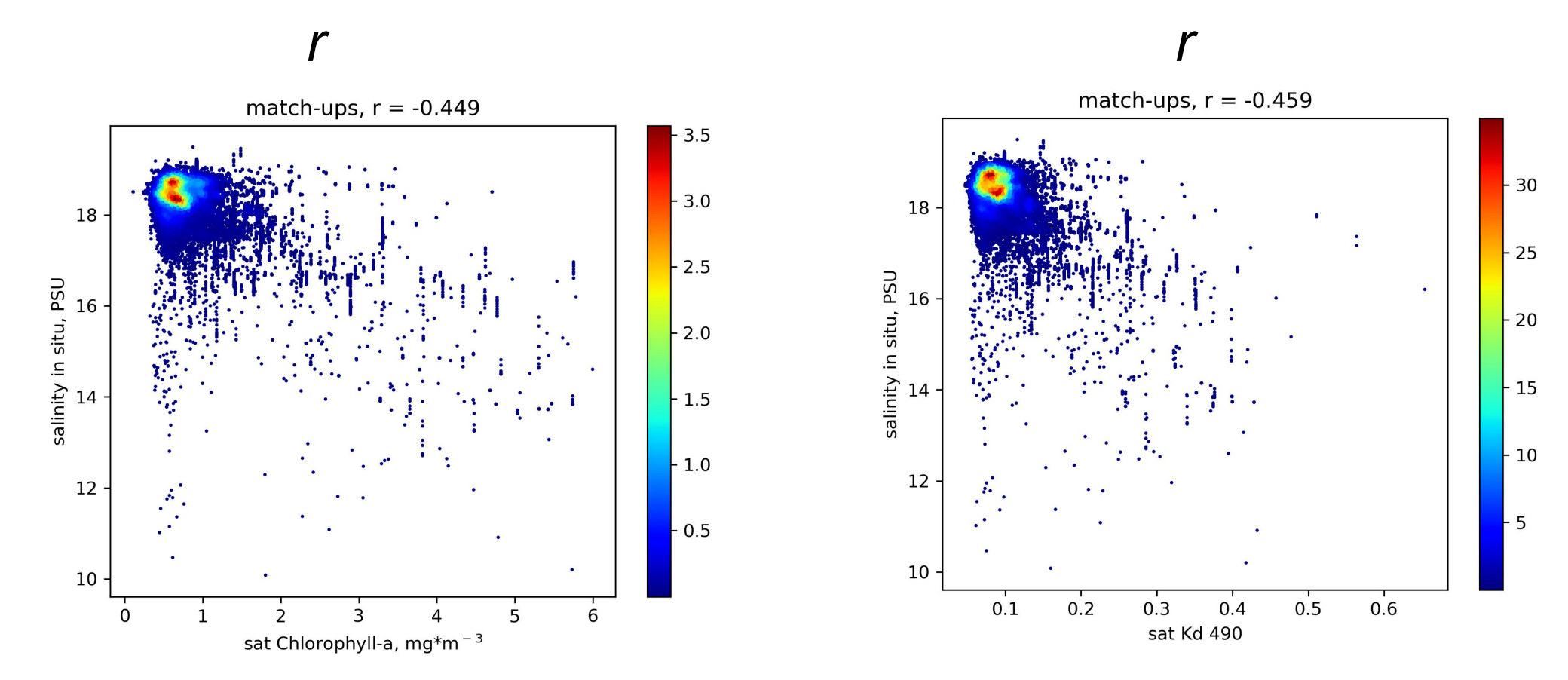








SSS - Chl-a, SSS - Kd₄₉₀



ИНС Искуственная нейронная сеть ANN Artificial Neural Network

Полносвязная сеть прямого распространения с одним скрытым и одним выходным слоем.

Выходной слой

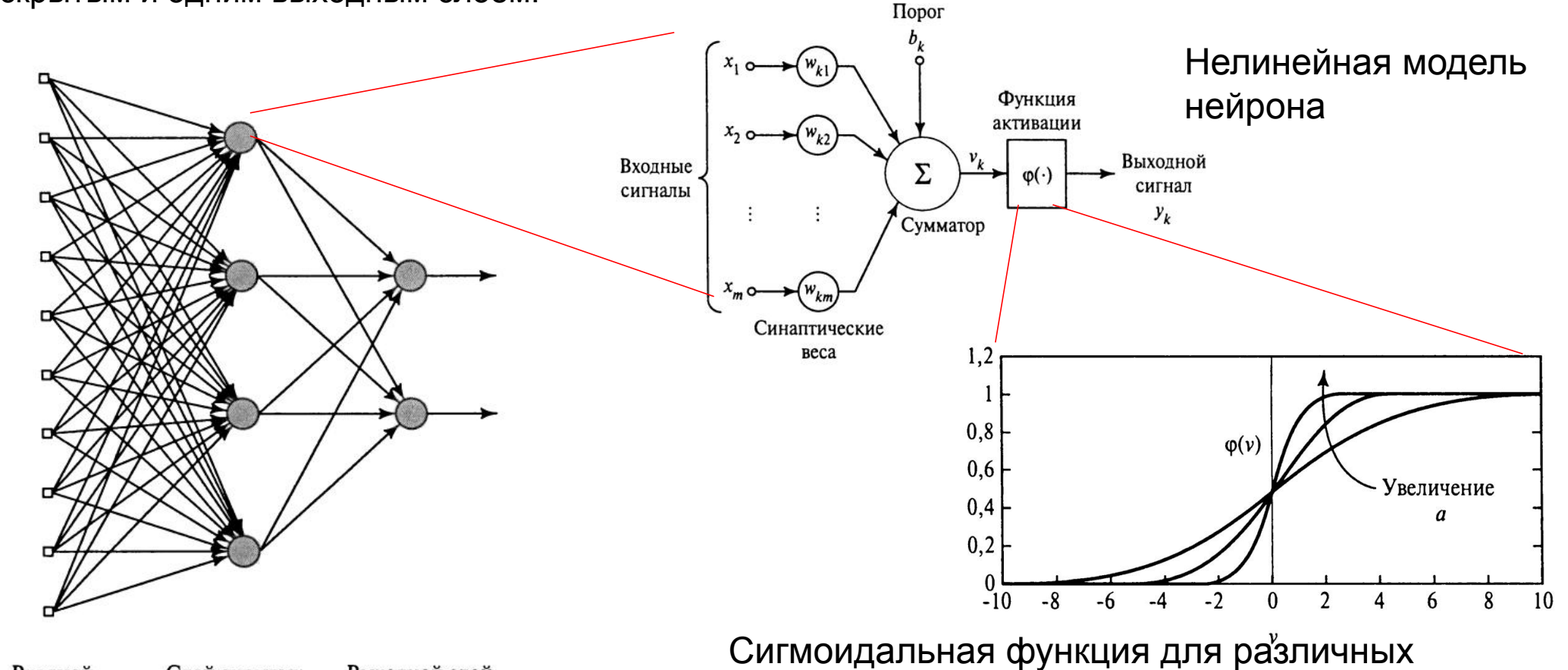
нейронов

Входной

слой

Слой скрытых

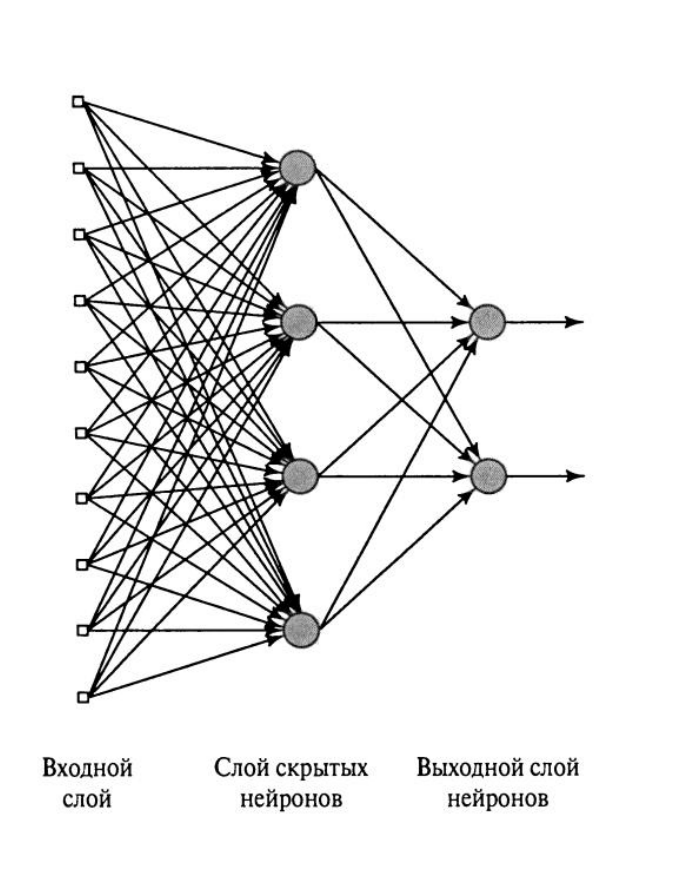
нейронов

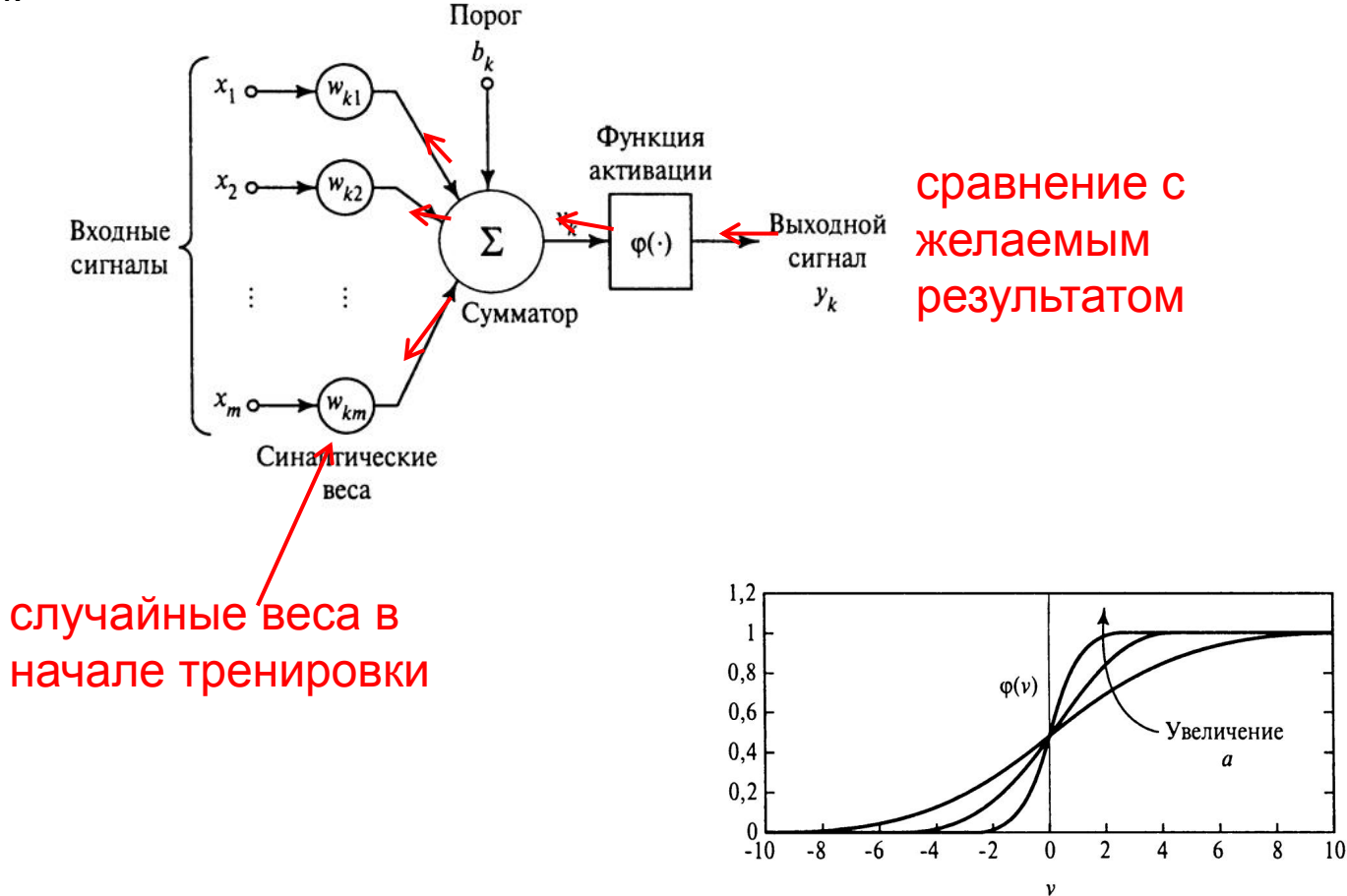


значений параметра а

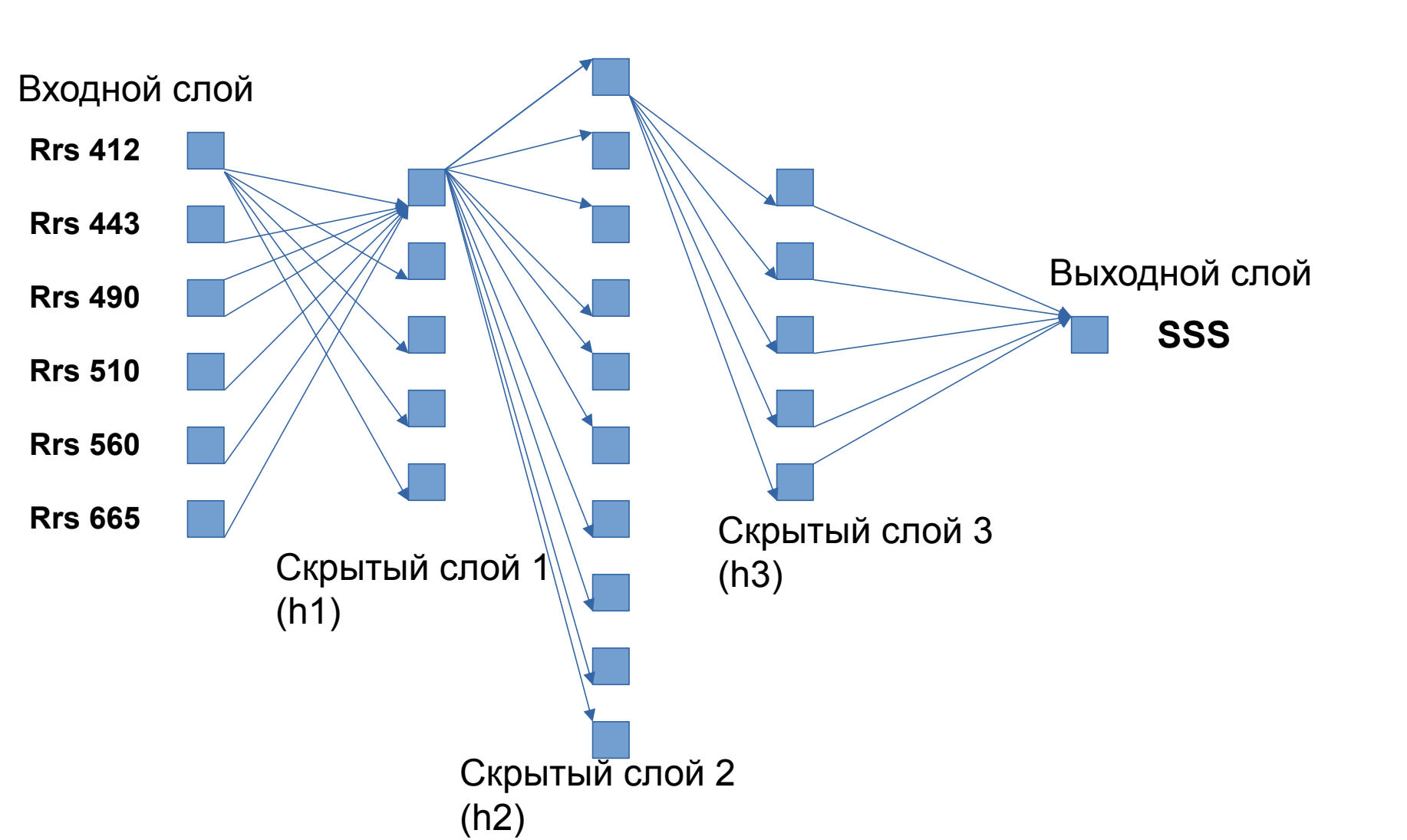
ИНС Искуственная нейронная сеть ANN Artificial Neural Network

Полносвязная сеть прямого распространения с одним скрытым и одним выходным слоем.

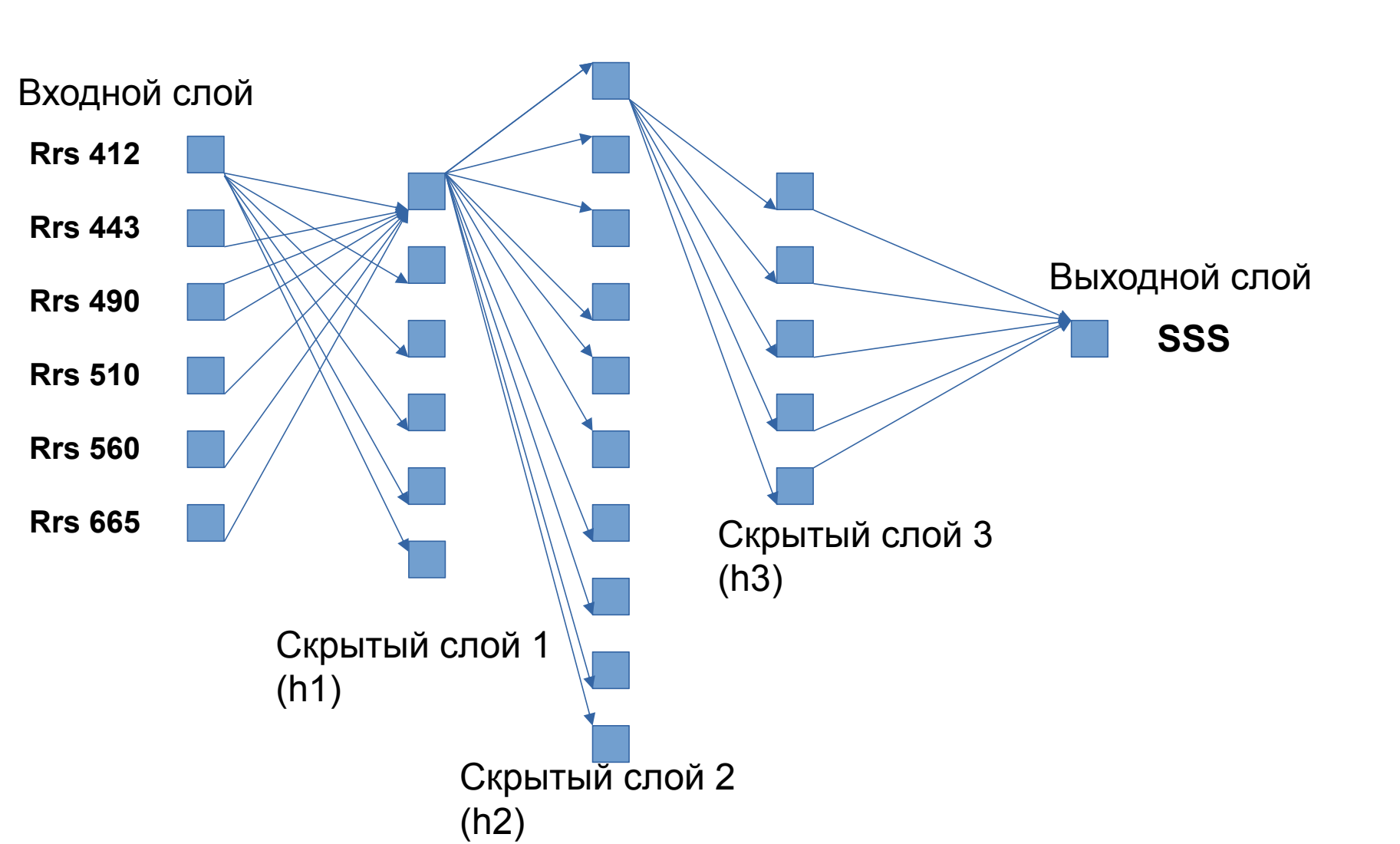




Архитектура сети



Архитектура сети



Архитектура сети

Входной слой : 6 (Rrs 412, 443, 490, 510, 560, 665 nm)

Скрытый слой 1: 5, 10, 15, 20, 30

Скрытый слой 2: 5, 10, 20, 30, 40, 50, 60, 70

Скрытый слой 3: 5, 10, 15, 20, 30

Выходной слой: 1 (SSS)

Результаты тренировки, коэффициент корреляции (r)= 5 h1 = 1016000 циклов тренировки test dataset corrcoeff, layer h1-10, 8000 test dataset corrcoeff, layer h1-15, 8000 test dataset corrcoeff, layer h1-5, 8000 - 0.74 - 0.74 10 10 - 0.72 0.72 20 20 0.70 - 0.70 30 30 0.68 0.68 40 40 0.66 0.66 50 50 0.64 0.64 60 60 - 0.62 0.62 70 70 h1 = 30¹⁰h3¹⁵ 20 30 15 20 30 15 20 h1 = 20test dataset corrcoeff, layer h1-20, 8000 test dataset corrcoeff, layer h1-30, 8000 - 0.74 5 -- 0.74 10 -10 0.72 - 0.72 20 20 -0.70 - 0.70 \mathcal{L}^{30} 30 0.68 0.68 40 40 0.66 0.66 50 -50 - 0.64 0.64 60 -60

70 -

- 0.62

0.60

151320

10

- 0.62

30

20

15

70

5

10

20

50

60

70

Результаты тренировки, коэффициент корреляции (r) = 5 h1 = 10h1 = 15test dataset corrcoeff, layer h1-10, 8000 test dataset corrcoeff, layer h1-15, 8000 16000 циклов тренировки test dataset corrcoeff, layer h1-5, 8000 - 0.74 - 0.74 10 10 10 - 0.72 0.72 20 20 20 - 0.70 0.70 30 30 0.68 0.68 40 40 0.66 0.66 50 50 50 0.64 0.64 60 60 60 - 0.62 0.62 70 70 70 h1 = 30¹⁰h3¹⁵ 20 30 15 20 15 20 h1 = 20test dataset corrcoeff, layer h1-20, 8000 test dataset corrcoeff, layer h1-30, 8000 5 -10 - 0.72 0.72 20 -- 0.70 0.70 $\frac{2}{30}$ 0.68 0.68 0.66 0.66 50 -- 0.64 0.64 60 -- 0.62 0.62 70 -0.60 15 320 30 20 15

Вывод

Ни в каком скрытом слое нейронов не должно быть слишком мало

Слишком мало это 5 или 10 (во входном слое 6 в выходном 1)

Не должно быть больших различий в размере соседних слоев

Зависимость коэффициента корреляции от числа нейронов Dependence of correlation coefficient on the number of neurons r, training dataset

Colour shows hidden layer 1

0.74 0.72 0.70 0.68 h1=5 h1=10

60

80

neurons in all hidden layers

100

h1=15

h1=20

h1=30

120

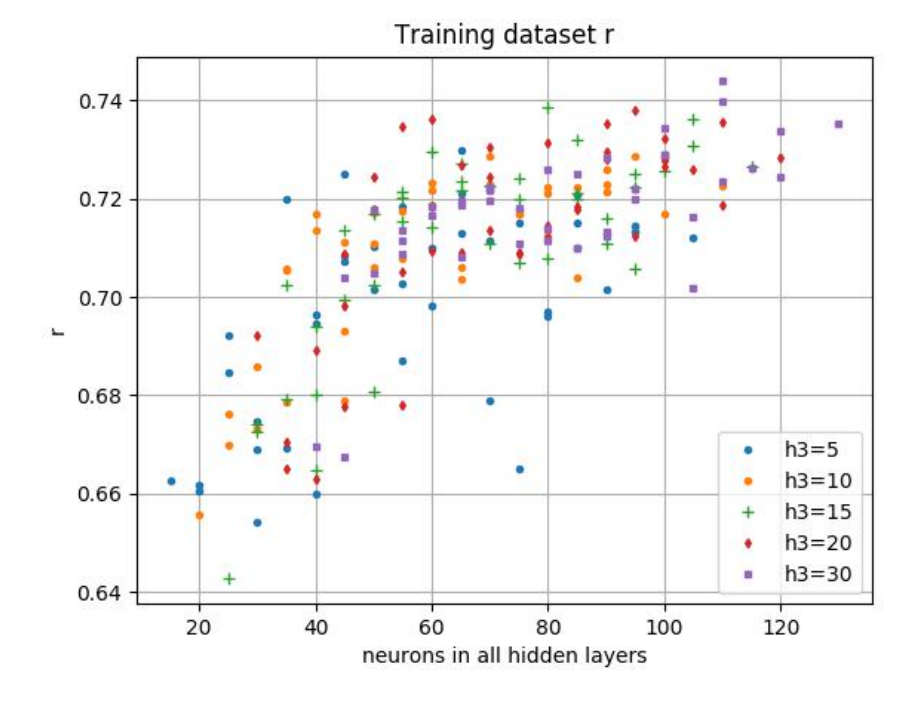
0.66

0.64

20

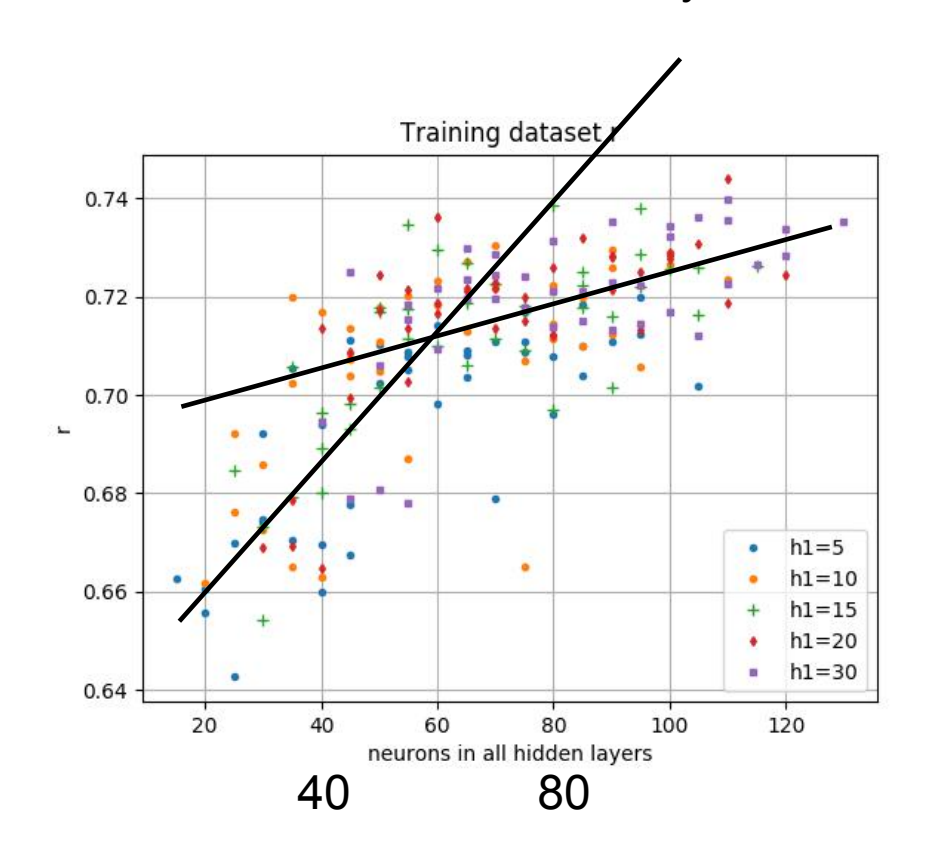
40

Colour shows hidden layer 3

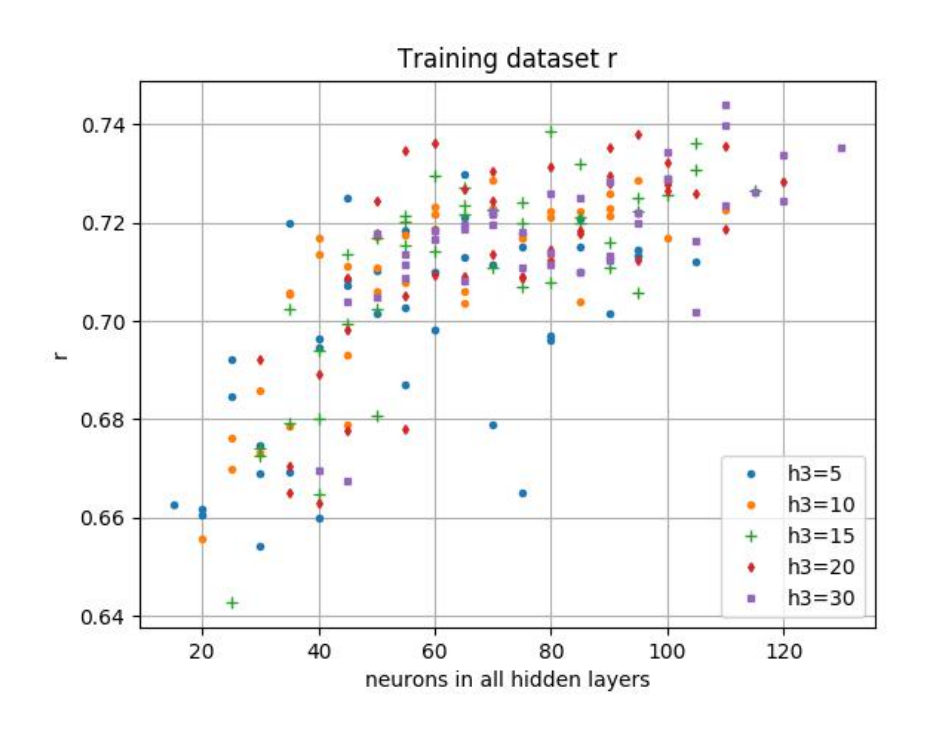


Зависимость коэффициента корреляции от числа нейронов Dependence of correlation coefficient on the number of neurons r, training dataset

Colour shows hidden layer 1

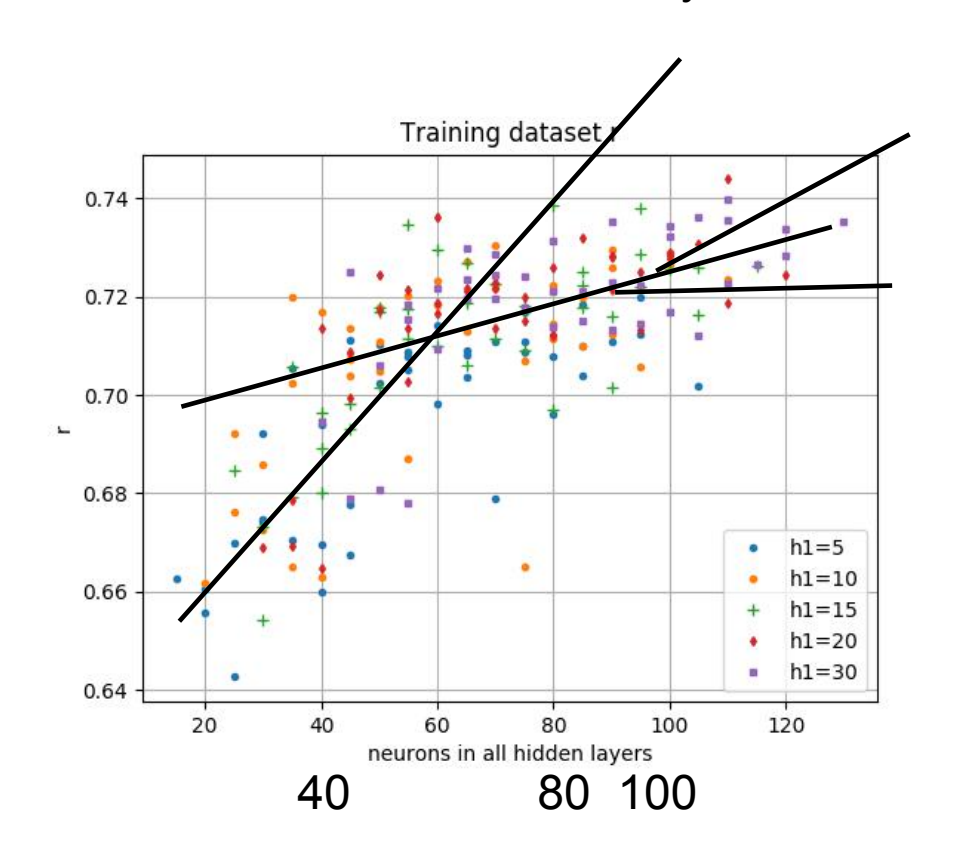


Colour shows hidden layer 3



Зависимость коэффициента корреляции от числа нейронов Dependence of correlation coefficient on the number of neurons r, training dataset

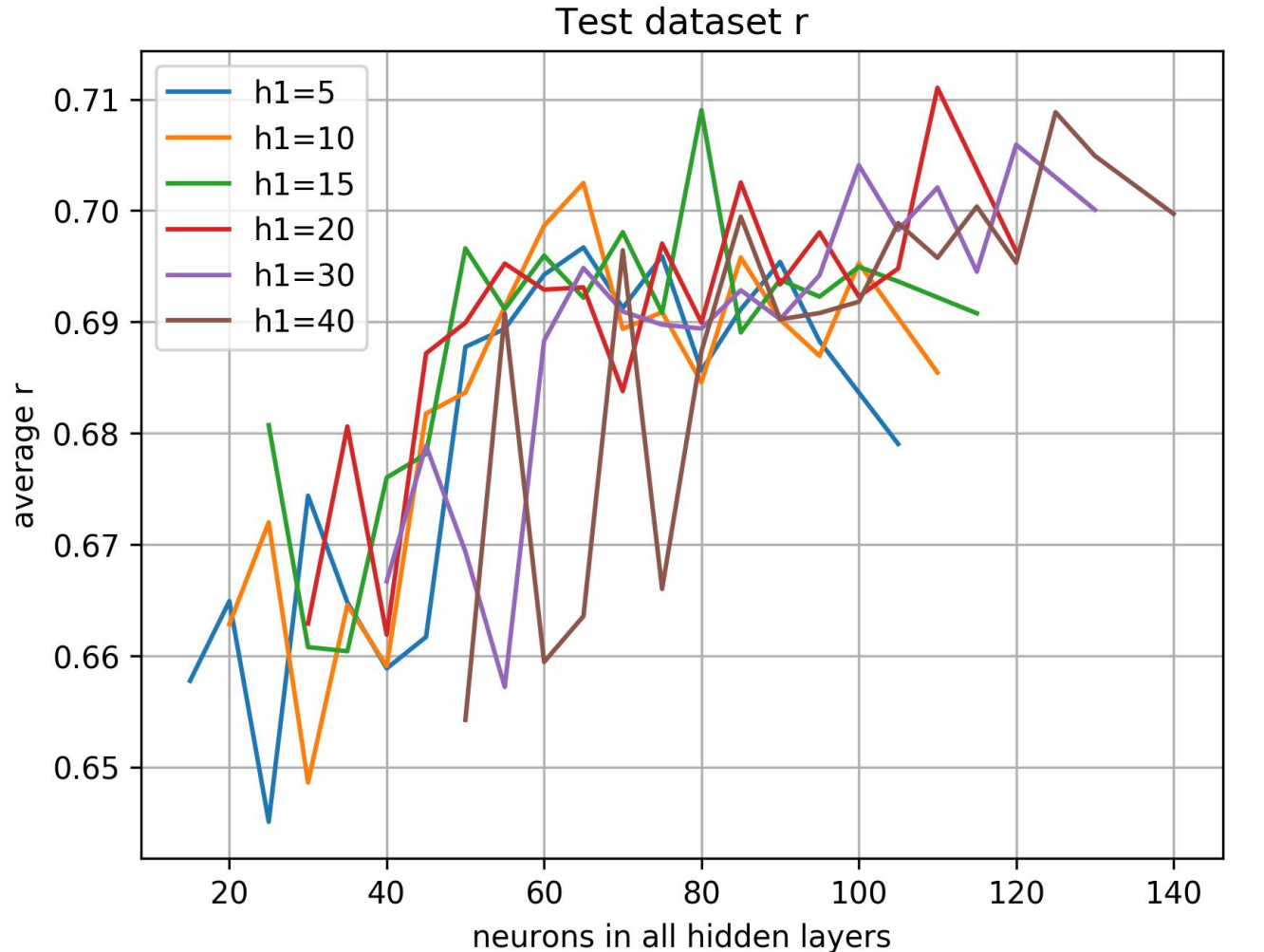
Colour shows hidden layer 1



Colour shows hidden layer 3



Зависимость коэффициента корреляции от числа нейронов Dependence of correlation coefficient on the number of neurons



r, training dataset

Зависимость коэффициента корреляции от числа нейронов Dependence of correlation coefficient on the number of neurons h1 5-10 Test dataset r хорошо h1 = 5работает в 0.71 h1=10 маленьких h1=15 0.70 сетях h1 = 20h1 = 30h1 5-10 h1 = 400.69 хорошо average r работает в 0.68 маленьких сетях 0.67 0.66 h1 30-40 не может 0.65 нормально работать в 20 60 80 100 40 120 140 маленьких сетях

neurons in all hidden layers

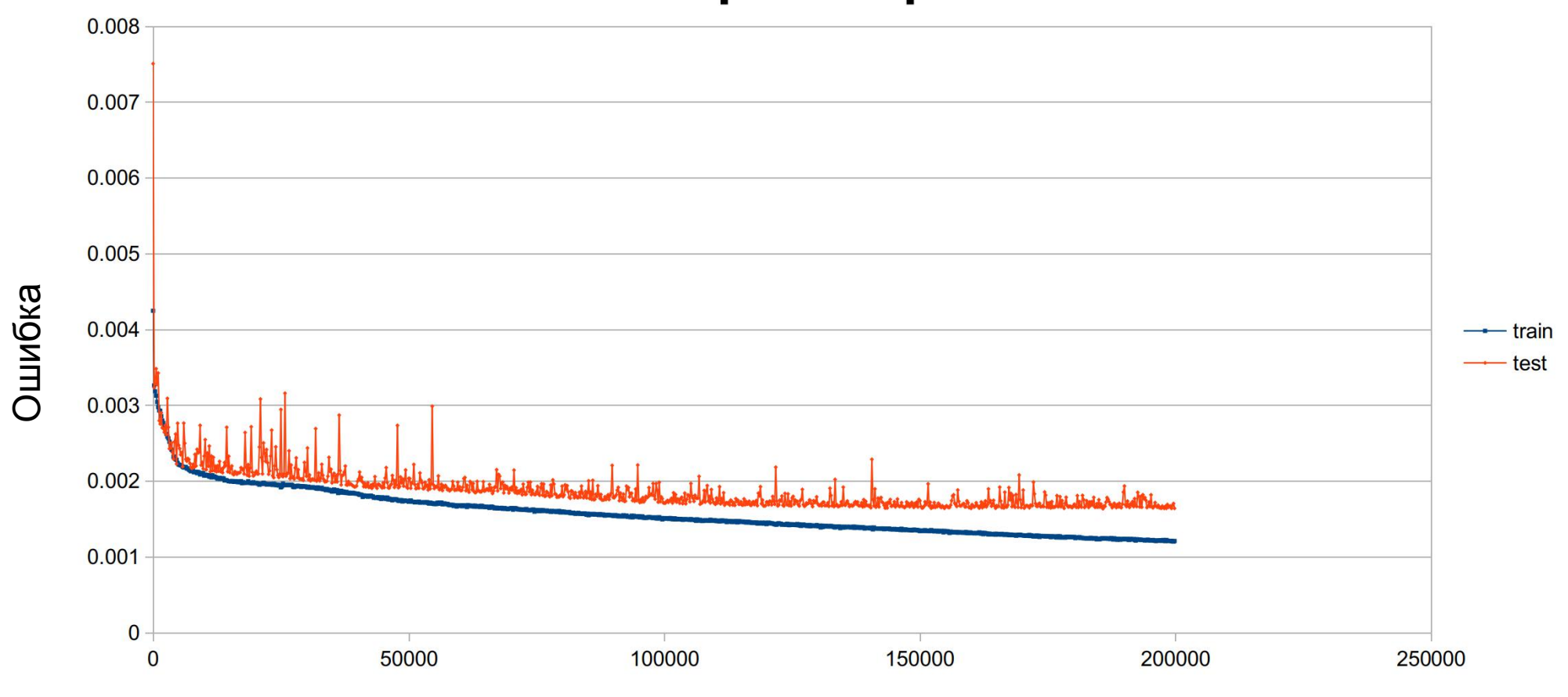
Вывод

Суммарное число нейронов в скрытых слоях должно быть меньше 80-100

Суммарное число нейронов в скрытых слоях должно быть больше 40

Не должно быть "дисбалланса" в размере скрытых слоев (уже было)

Полная тренировка



Цикл тренировки



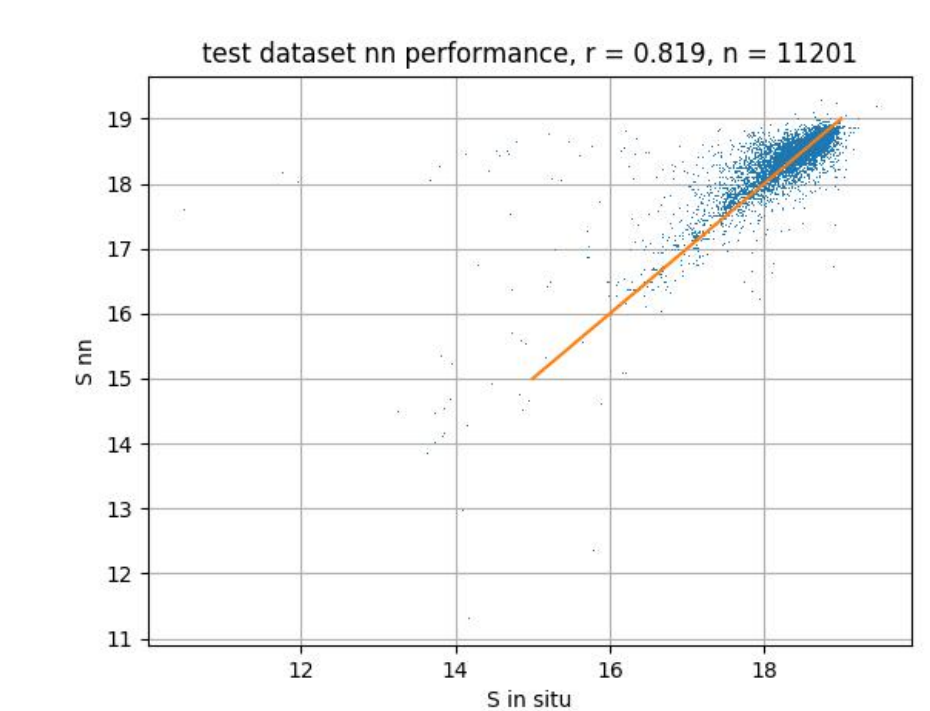
training dataset nn performance, r = 0.870, n = 22404

u 16

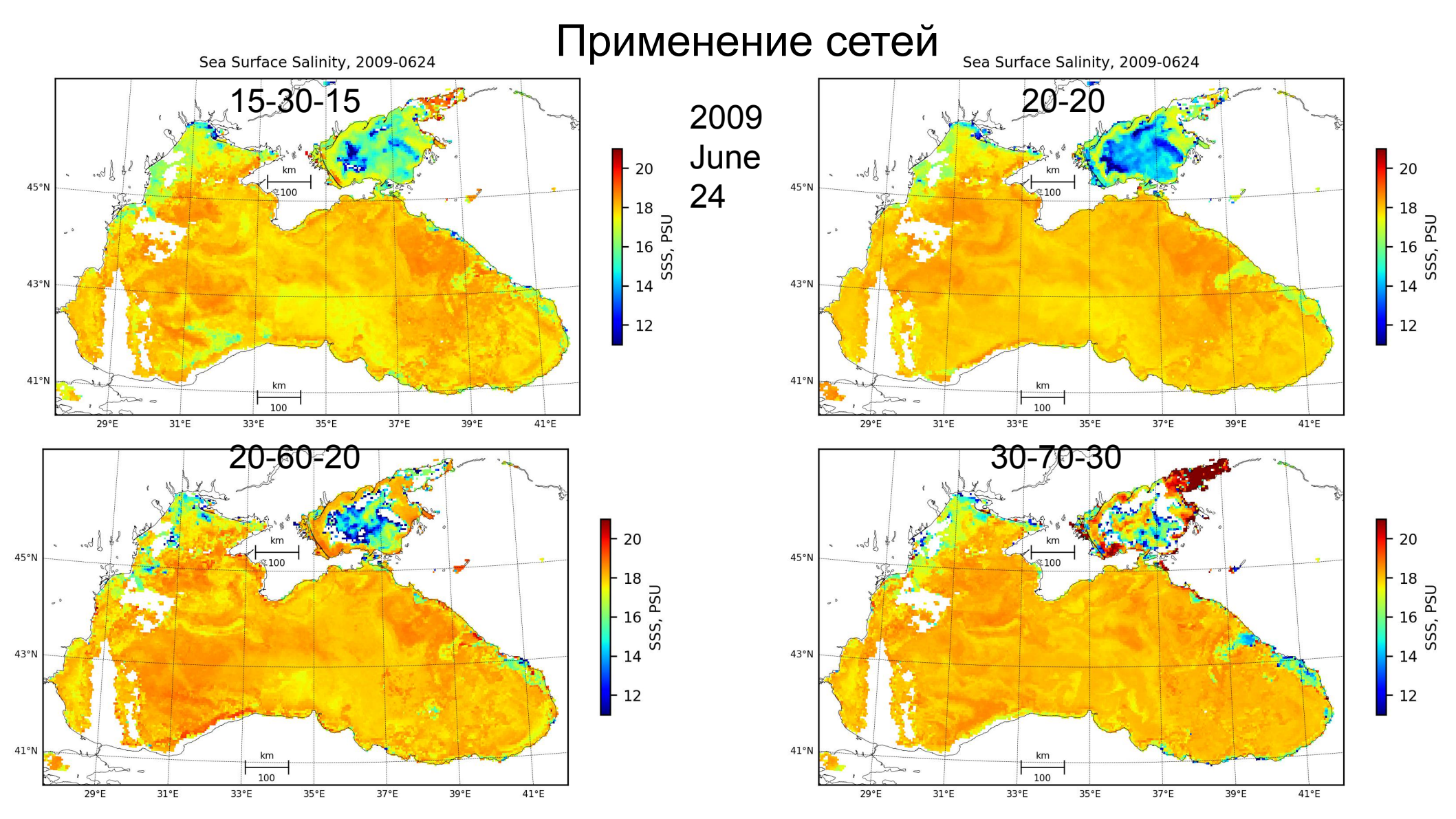


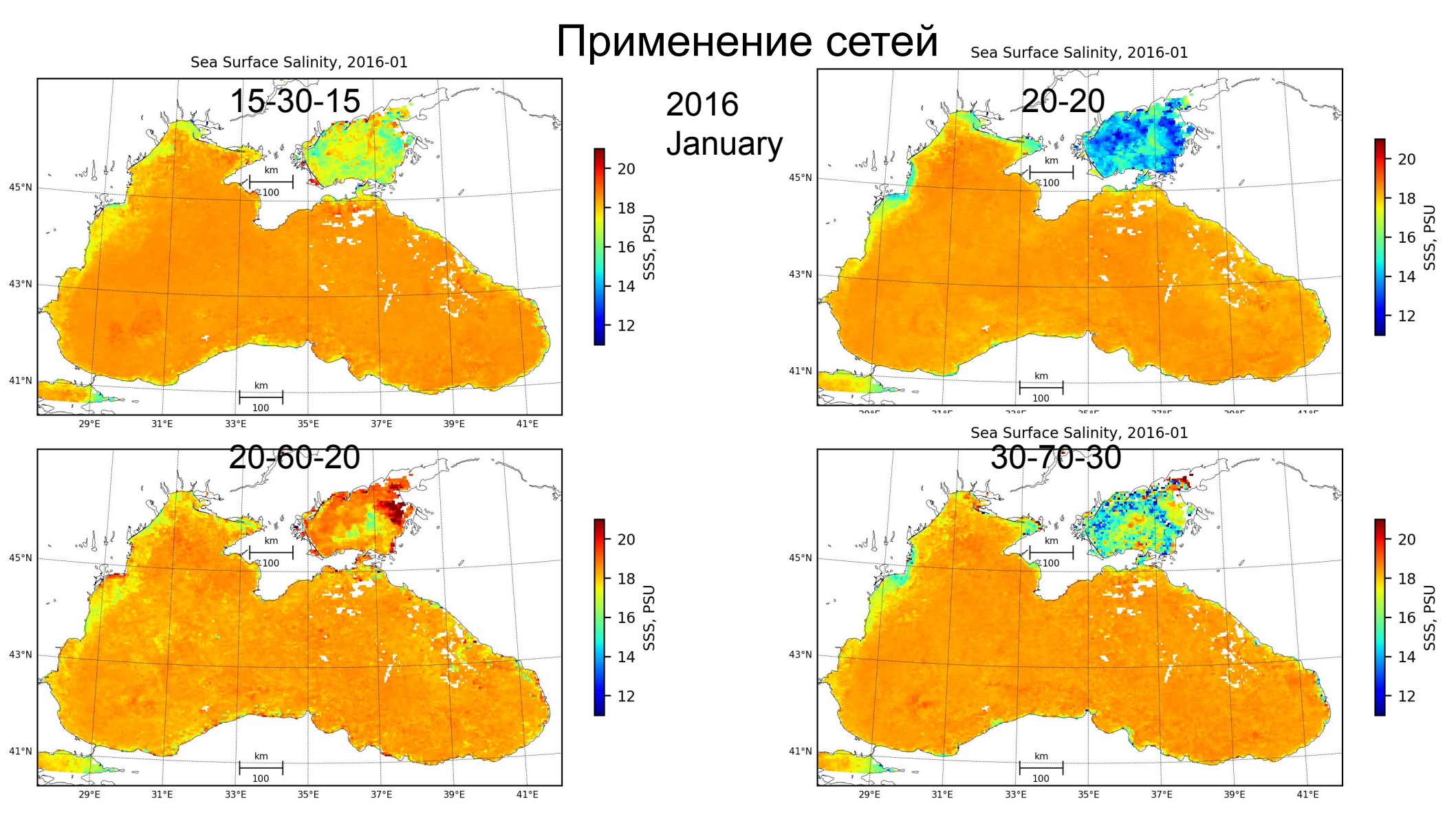
S in situ

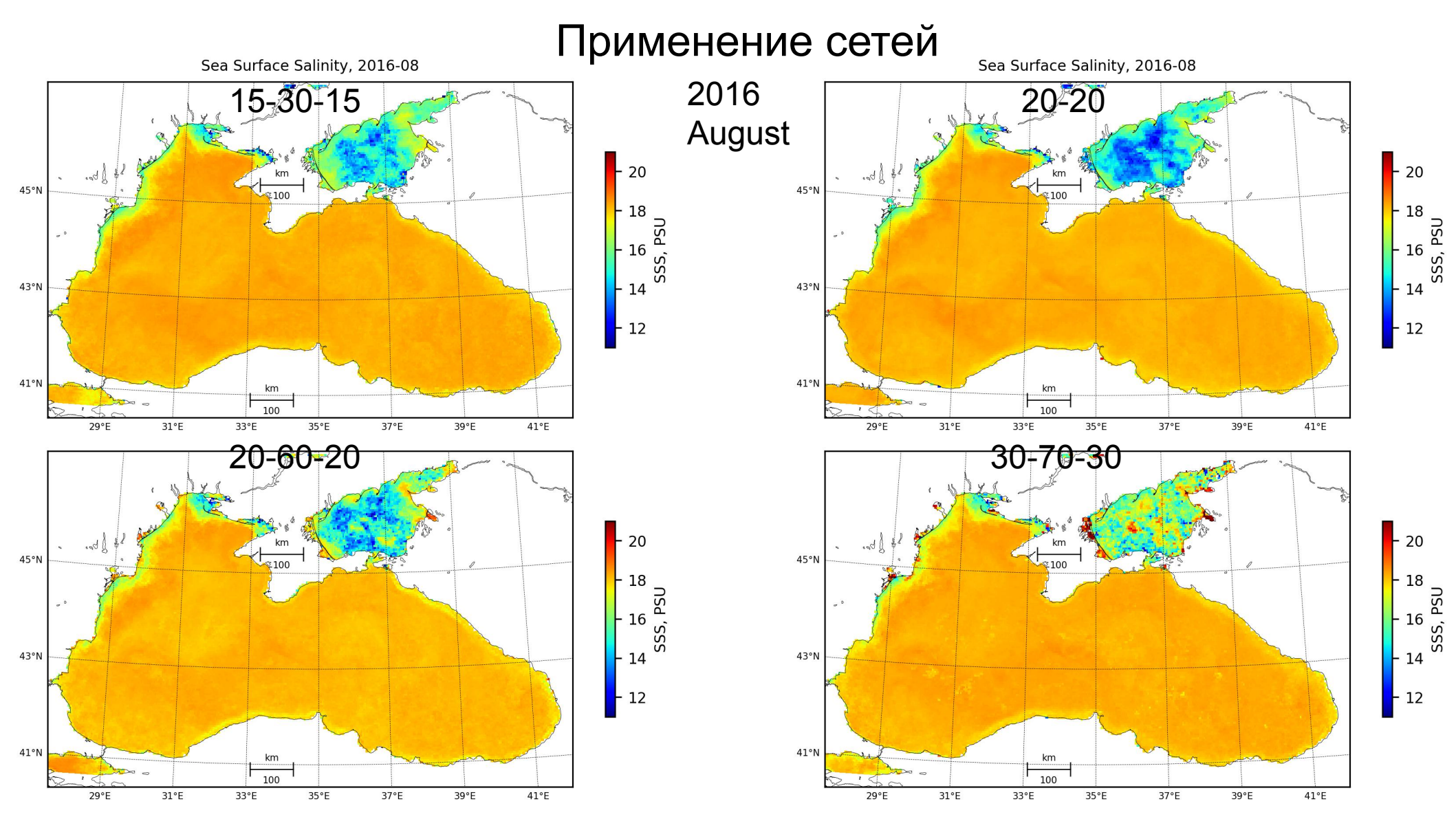
Тестовый



	15-30-15	20-60-20	30-70-30	20-20
Тренировочный	0.879	0.890	0.897	0.786
Тестовый	0.819	0.835	0.827	0.759
Разница	0.06	0.055	0.07	0.027







Вывод

Возможно, нужно было начать с 2 скрытых слоев

Выводы

- -Ни в каком отдельном скрытом слое нейронов не должно быть слишком мало
- -Не должно быть больших различий ("дисбалланса") в размере соседних слоев
- -Суммарное число нейронов в скрытых слоях должно быть меньше 80-100
- -Суммарное число нейронов в скрытых слоях должно быть больше 40

Для окончательного выбора архитектуры сети и натренированной сети, необходимо использование дополнительной информации, например, анализ протранственных распределений и полученных на основе сети климатических значений

Необходимо проведение множественных экспериментов для сглаживания случайностей в тренировке сетей

Желательна более длительная тренировка на этапе перебора сетей (например не 16000, а 30000)

Спасибо за внимание!

Вопросы

Полезное

- Neural Networks: A Comprehensive Foundation Subsequent Edition, Simon Haykin

- https://www.oceanopticsbook.info/, Curtis Mobley, Emmanuel Boss, Collin Roesler

- https://www.oceancolour.org/ OceanColour - CCI Merged Dataset

- https://ioccg.org/what-we-do/ioccg-publications/ioccg-reports/ , IOCCG Reports